УДК 539.231

# Структурные, механические и адгезионные исследования покрытий на основе гидроксиапатита с легирующими элементами

В. Анорин, М. Козадаева

Научный руководитель: профессор, д.т.н., Р.А. Сурменев Национальный исследовательский Томский политехнический университет, Россия, г. Томск, пр. Ленина, 43, 634050 E-mail: vea7@tpu.ru

# Structural, mechanical and adhesion investigation of doped hydroxyapatitis-based coatings

V. Anorin, M. Kozadaeva Scientific Supervisor: Prof., Dr. R.A. Surmenev Tomsk Polytechnic University, Russia, Tomsk, Lenin str., 43, 634050 E-mail: vea7@tpu.ru

**Abstract.** In this work the influence of magnesium and strontium as doping elements on the structure, mechanical and adhesion properties of hydroxyapatite-based coatings was investigated. X-ray diffraction, nanoindentation and scratch-test were used as research methods. Changes in crystal structure, hardness, Young's modulus and adhesive fracture pattern were studied depending on the type of doping element.

Key words: biomaterials, radio frequency magnetron sputtering, hydroxyapatite coatings.

#### Введение

Традиционно используемые имплантаты на основе металлов являются биоинертными материалами и обладают ограниченной биологической активностью. Общепринятым подходом для модификации металлических имплантатов является нанесение на их поверхность биосовместимых покрытий. Формирование биоактивных покрытий на основе гидроксиапатита (ГАП), химическая формула  $Ca_{10}(PO_4)_6(OH)_2$ , широко используется в поверхностной модификации металлических качестве способа имплантатов Для улучшения биоактивности покрытий на основе ГАП применяется легирование данного материала различными элементами, которые содержатся в химическом составе кости, а также усиливают процессы остеоинтеграции, дифференцировку остеобластов и предотвращают резорбцию костной ткани [2]. В данной работе рассматривается влияние на кристаллическую структуру, механические и адгезионные свойства покрытий на основе ГАП следующих легирующих элементов: магний (Mg-ГАП, уравнение 1), стронций (Sr-ГАП, уравнение 2), а также биэлементное легирование Mg/Sr (MgSr-ГАП, уравнение 3).

#### Экспериментальная часть

Синтез порошков, использующихся для изготовления мишени, проводился механохимическим методом по реакциям [3]:

$$5CaHPO_4 + 4.5CaO + 0.5 Mg(H_2PO_4)_2 \cdot 4H_2O \rightarrow Ca_{9.5}Mg_{0.5}(PO_4)_6(OH)_2 + 4.5H_2O$$
 (1)

$$6CaHPO_4 + 2,5CaO + 1,5SrCO_3 \rightarrow Ca_{8,5}Sr_{1,5}(PO_4)_6(OH)_2 + 2H_2O + 1,5CO_2$$
 (2)

$$5CaHPO_4 + 3CaO + 1,5SrCO_3 + 0,5Mg(H_2PO_4)_2 \cdot 4H_2O \rightarrow Ca_8Sr_{1.5}Mg_{0.5}(PO_4)_6(OH)_2 + 4,5H_2O + 1,5CO_2$$
 (3)

Осаждение покрытий осуществлялось методом высокочастотного магнетронного напыления при мощности 420 Вт, давлении аргона  $4 \cdot 10^{-2}$  Па в течение 5 часов. Исследование структуры проводилось при помощи рентгенофазового анализа (РФА) на дифрактометре XRD-6000 (Shimadzu, Япония) с источником рентгеновских лучей  $CuK\alpha$ . Исследование

механических свойств были проведены на приборе Nanotriboindenter TI-950 (Hysitron Inc., USA) с индентором Берковича., величина приложенной нагрузки варьировалась от 0,4 до 130 мН. Исследование адгезионных свойств проводилось методом склерометрии при помощи прибора Revetest® Scratch Tester с индентором Роквелла радиусом 200 мкм и при прогрессирующей нагрузке от 0,01 H до 3 H.

### Результаты

Результаты РФА-анализа представлены на рис. 1.

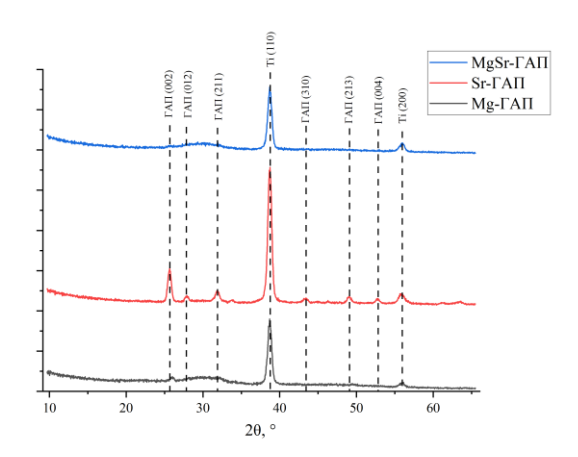


Рис. 1. Дифрактограммы покрытий

Анализ полученных дифрактограмм показал, что для Mg-ГАП и MgSr-ГАП в области от  $26^{\circ}$  до  $37^{\circ}$  наблюдается аморфное гало и характерный пик ГАП (002) при  $25,9^{\circ}$ . На дифрактограмме Sr-ГАП покрытия наблюдается большое количество пиков фаз фосфата кальция: (002) при  $25,9^{\circ}$ , (012) при  $28,0^{\circ}$ , (211) при  $31,8^{\circ}$  (310) при  $43,3^{\circ}$ , (213) при  $49,0^{\circ}$  и (004) при  $52,8^{\circ}$ . Также наблюдаются характерные пики титана: (110) при  $38,8^{\circ}$  и (200) при  $56,0^{\circ}$ . Качественное сравнение дифрактограмм покрытий свидетельствует о том, что Sr-ГАП обладает кристаллической структурой с преимущественной ориентацией кристаллитов (002). При этом покрытия Mg-ГАП и MgSr-ГАП обладают квазиаморфной или нанокристаллической структурой. Это может обуславливаться различными ионными радиусами  $Mg^{2+}$  (0,069 нм),  $Sr^{2+}$  (0,120 нм) и  $Ca^{2+}$  (0,099 нм) [4].

Результаты исследования механических свойств покрытий показаны в таблице 1.

Механические свойства покрытий

Таблица 1

Покрытие	Твердость, $H$ , I Па	Модуль Юнга, $E$ , ГПа	H/E	$H^3/E^2$ , I'lla
Mg-ГАП	$4,5 \pm 0,5$	$83 \pm 10$	0,054	0,013
Sr-ΓΑΠ	$7,0 \pm 0,4$	$100 \pm 7$	0,070	0,035
MgSr-ΓΑΠ	$5,1 \pm 0,3$	$95 \pm 11$	0,054	0,015

В результате проведенных исследований установлено, что набольшие значения твердости и модуля Юнга среди исследуемых образцов демонстрирует покрытие Sr-ГАП, что наиболее вероятно связано с его кристаллической структурой. Наименьшими механическими характеристиками обладает покрытие Mg-ГАП.

Результаты склерометрии представлены на рис. 2.

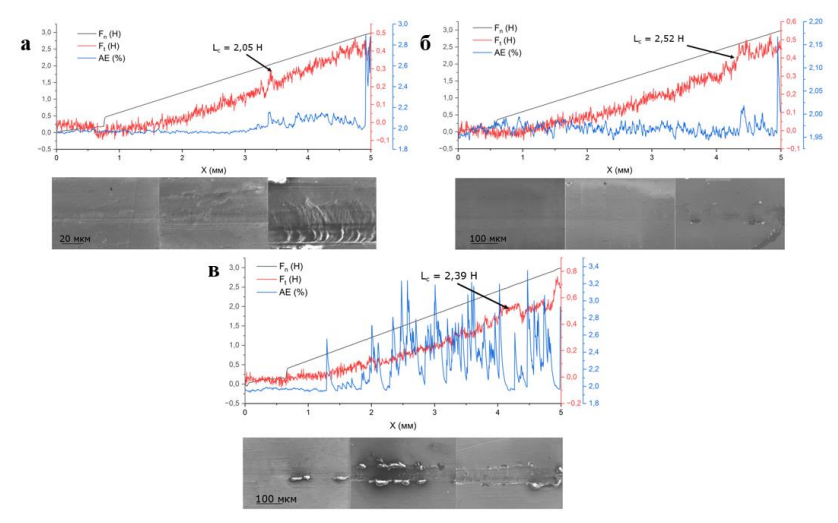


Рис. 2. Результаты склерометрии и фотография со сканирующего электронного микроскопа царапины для покрытия Mg- $\Gamma A\Pi$  (a), Sr- $\Gamma A\Pi$  (б), и MgSr- $\Gamma A\Pi$  (в)

Критическая нагрузка  $L_c$ , определяемая в ходе исследования как скачок значения силы трения, для покрытий Mg-ГАП, Sr-ГАП, MgSr-ГАП составила 2,05 H, 2,52 H и 2,39 H, соответственно. Покрытия Mg-ГАП и MgSr-ГАП не проявляют адгезионного разрушения, наблюдается только когезионное разрушение в виде пластичного растрескивания (рис. 2, а, в). Покрытие Sr-ГАП демонстрирует пластичное растрескивание и отслаивается от подложки посредством скалывания при критической нагрузке (рис. 2, б).

#### Заключение

В данном исследовании проведён анализ кристаллической структуры, механических характеристик и адгезионных свойств покрытий на основе ГАП с замещением ионов кальция ионами магния, стронция, а также биэлементного замещения Mg/Sr. Установлено, что в покрытиях Mg-ГАП и MgSr-ГАП происходит нарушение упорядоченности кристаллической решётки, сопровождающееся образованием квазиаморфной или нанокристаллической фазы. Предположительно, данный эффект обусловлен меньшим ионным радиусом магния, что приводит к нарушению кристаллической структуры. В противоположность этому, покрытие Sr-ГАП сохраняет характерную кристаллическую организацию ГАП и демонстрирует наибольшие значения твёрдости и модуля Юнга среди всех исследованных образцов.

Работа выполнена при финансовой поддержке РНФ (проект № 22-43-04430).

# Список литературы

- 1. Safavi M.S. et al. RF-magnetron sputter deposited hydroxyapatite-based composite & multilayer coatings: A systematic review from mechanical, corrosion, and biological points of view // Ceramics International. Elsevier Ltd. -2021.-Vol. 47, Nole 3.-P. 3031–3053.
- 2. Šupová M. Substituted hydroxyapatites for biomedical applications: A review // Ceram Int. Elsevier. 2015. Vol. 41, № 8. P. 9203–9231.
- 3. Bulina N.V. et al. Mechanochemical synthesis of strontium- and magnesium-substituted and cosubstituted hydroxyapatite powders for a variety of biomedical applications // Ceram Int. Elsevier Ltd. -2022. Vol. 48,  $Noldsymbol{0} 23. P. 35217-35226$ .
- 4. Mróz W. et al. Structural studies of magnesium doped hydroxyapatite coatings after osteoblast culture // Journal of Molecular Structure. 2010. Vol. 977, № 1–3. P. 145–152.